

II-5 差分法による周辺弹性支持曲線直交異方性扇形平板の解析

九州大学工学部 正員 吉村虎蔵

学生員 ○大塚久哲

米田利博

1. まえがき 着者の一人は先に板の隅角部四点が支持され、周辺を直線桁および曲線桁にて弹性支持される等方性扇形平板を差分法を適用の上解析し、扇形平板隅角部の支持条件・弹性支持桁の剛度・扇形平板の開角等が扇形平板の剛度・曲げモーメントにおける影響などについて考察を加え、この構造物の力学的特性の把握につとめた。⁽¹⁾ これにより扇形平板と周辺の支持桁との相互作用が一応明確になったと考えてあるが、実際に構築される板は厳密には直交異方性板として解析すべきものが多いから、ここでは文献⁽¹⁾と同様に差分法を利用して周辺を桁にて弹性支持される曲線直交異方性扇形平板を、直交異方性板理論および桁理論に基いて解析する手法について述べる。本解析法は鉄筋コンクリート床板およびリブ付鋼床板のように板自体が直交異方性を有すると考えられる床板、およびそれらと中間補剛桁とか合成して荷重に抵抗する床板・床組構造の両者を解析の対象としており、後者の構造については中間補剛桁の剛度を板剛度に組み入れて直交異方性板として解く方法と、中間補剛桁の差分式に対応する格点上で板の差分式と組み合わせて解く方法の2種類を考えられる。中間補剛桁の数が比較的小ない構造に対しては、板と中間補剛桁とを1つの直交異方性板として取り扱うことにより、少し無理があるようであり⁽²⁾ したがってその場合には後者の考え方で扱う方がより合理的な解析法といふことかができる。両者の考え方による演算結果の相違および適用の限界等に関する考察をあわせて本研究の主な目的の一つである。

2. 解法 (1) 基礎微分方程式および断面力の差分化

極座標表示による曲線直交異方性板の基礎微分方程式および断面力の式を図-1に示すようなら放射状格子の格点(i,j)に関して差分式に変換すれば次のようになる。解析に必要な基礎式を得る。

$$W = \frac{P\chi^2}{N_r} \quad \dots (1)$$

$$M_r = \begin{bmatrix} b_1 \\ b_2 \\ b_3 \\ b_4 \end{bmatrix} W \quad \dots (2)$$

$$M_\theta = \begin{bmatrix} b_1 \\ b_2 \\ b_3 \\ b_4 \end{bmatrix} W \quad \dots (3)$$

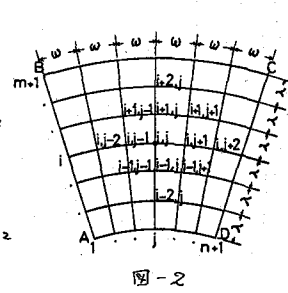
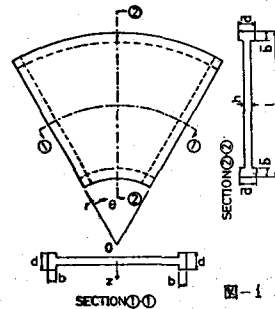
$$V_\theta = \begin{bmatrix} c_1 \\ c_2 \\ c_3 \\ c_4 \end{bmatrix} W \quad \dots (4)$$

$$\begin{aligned} a_1 &= 1 + \lambda(2 + \nu_b - \nu_r P^2)/2r_i, \quad a_2 = 1 - \lambda(2 + \nu_b - \nu_r P^2)/2r_i, \\ a_3 &= \lambda^2(2R + \nu_r P^2 - \nu_b - R\lambda)/r_i^2 w^2, \quad a_4 = P^2 \lambda^2 / r_i^2 w^2, \\ a_5 &= -4 - \lambda(2 + \nu_b - \nu_r P^2)/r_i - 2\lambda^2(2R + \nu_r P^2 - \nu_b + P^2 w^2/2)/ \\ &\quad w^2 r_i^2 + \lambda^2(2R/w^2 + P^2/2)/r_i^3, \\ a_6 &= 2\lambda^2(\nu_b - 2R - \nu_r P^2 + \lambda^2(R + P^2))/r_i^2 - 2P^2 \lambda^2 / w^2 r_i^2 / (w^2 r_i^2), \\ a_7 &= 6 + 2\lambda^2(2(2R + \nu_r P^2 - \nu_b) - 2\lambda^2(R + P^2)/r_i^2 + P^2 w^2 + \\ &\quad 3P^2 \lambda^2 / r_i^2 w^2) / w^2 r_i^2, \end{aligned}$$

$$\begin{aligned} a_8 &= \lambda^2(2R + 2\nu_r P^2 - \nu_b + R\lambda)/r_i^2 w^2, \\ a_9 &= -4 + \lambda(2 + \nu_b - \nu_r P^2)/r_i - 2\lambda^2(2R + \nu_r P^2 - \nu_b + P^2 w^2/2)/w^2 r_i^2 \\ &\quad - \lambda^2(2R/w^2 + P^2/2)/r_i^3 \end{aligned}$$

$$\begin{aligned} b_1 &= -N_r(1 + \nu_b \lambda / 2r_i) / \lambda^2, \quad b_2 = -N_r \nu_b / r_i^2 w^2, \\ b_3 &= 2N_r(1 + \nu_b \lambda^2 / r_i^2 w^2) / \lambda^2, \quad b_4 = -N_r(1 - \nu_b \lambda / 2r_i) / \lambda^2 \\ b_5 &= -P^2 N_r (\nu_r + \lambda / 2r_i) / \lambda^2, \quad b_6 = -P^2 N_r / r_i^2 w^2 \end{aligned}$$

$$\begin{aligned} b_7 &= 2P^2 N_r (\nu_r + \lambda^2 / r_i^2 w^2) / \lambda^2, \quad b_8 = -P^2 N_r (\nu_r - \lambda / 2r_i) / \lambda^2 \\ \bar{c}_1 &= N_r \{ \nu_r P^2 + 2(R - \nu_b) \} / 2r_i \lambda^2 w + N_r \{ P^2 - 2(R - \nu_b) \} / 4 \lambda w r_i^2, \quad \bar{c}_2 = N_r P^2 / 2r_i^2 w^3, \\ \bar{c}_3 &= -N_r P^2 / r_i^2 w^3 - N_r \{ \nu_r P^2 + 2(R - \nu_b) \} / r_i^2 \lambda^2 w + N_r(R - \nu_b) / r_i^2 w, \\ \bar{c}_4 &= N_r \{ \nu_r P^2 + 2(R - \nu_b) \} / 2r_i \lambda^2 w - N_r \{ P^2 - 2(R - \nu_b) \} / 4 \lambda w r_i^2, \end{aligned}$$



$$V_r = \left\{ \begin{array}{c} C_1 \\ | \\ C_2 \quad C_3 \quad C_2 \\ | \\ C_4 \quad C_5 \quad C_4 \\ | \\ C_2 \quad C_6 \quad C_2 \\ | \\ C_7 \end{array} \right\} W$$

$$\begin{aligned} C_1 &= -N_r/2\lambda^3, \quad C_2 = -N_r(2k-\nu)/2\lambda^3\lambda w^2, \quad C_3 = N_r/\lambda^3 + N_r(2k-\nu)/\lambda^2\lambda w^2 - N_r(1+\nu-\lambda^2) \\ &/\lambda^2\lambda^2 + N_r P^2/2\lambda^2\lambda, \quad C_4 = N_r(2k+\nu^2-\nu)/\lambda^2\lambda w^2, \quad C_5 = 2N_r(1+\nu-\lambda^2\nu^2)/\lambda^2\lambda^2 - 2N_r(2k+\nu^2-\nu)/\lambda^2\lambda^2 w^2, \\ C_6 &= -N_r/\lambda^3 - N_r(2k-\nu)/\lambda^2\lambda w^2 - N_r(1+\nu-\lambda^2\nu^2)/\lambda^2\lambda^2 - N_r P^2/2\lambda^2\lambda, \\ \lambda &= l/m, \quad \omega = \theta_0/n, \quad l: 直線長, \quad \theta_0: 扇形平板の開角, \quad m, n: 半径方向および接線方向分割数, \quad r_c: 座標中心より板端(x_c)までの距離, \quad N_r, N_\theta: 半径方向および接線方向板剛度, \quad N_{\theta\theta}: 板のねじり剛度, \quad \nu_r, \nu_\theta: 半径方向および接線方向ボアソン比, \quad k = 1/\nu_r + N_{\theta\theta}/N_r, \quad P^2 = N_\theta/N_r, \quad \nu: 板に作用する垂直荷重. \end{aligned}$$

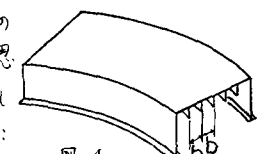
(2) 解析的手順 図-2に示すような放射状格子に分割された扇形平板の各格点におけるたわみを求めるために、まず支承されている隅角節の4格点を除くすべての格点において式(1)をたてる。その解は端近傍および板端の格点において式(1)が板外の仮想格点を含むから、板端の格点で、板と支持軸との間の力の釣合式および隅角節の支持点で拘束条件の式を立て、これらを一組の連立方程式として解いて所要のたわみを得、それらの値を使って板および軸の断面力を計算する。

(3) 境界条件式 内側曲線軸と扇形平板との結合部の微小要素に作用する力および曲げモーメントは図-3のように表わせる。いま曲線軸の幅は無視できることは小さく、かつ板と曲線軸との中立軸は一致して結合されているものとする。このときこの微小要素に関する力およびモーメントの釣合式を立て、断面力と変形量との関係式を使って変形の微分方程式を誘導し、それらを差分式に変換すれば次のような2つの境界条件式を得る。他の3辺においても同様の考え方で境界条件式を容易に説明ことができる。ここで $f_1 = -J_b m \lambda^2 / 2 R^2 w^2$, $J_b = G_b \bar{c}_b / N_r m \lambda$, $G_b \bar{c}_b$: 曲線軸のねじり剛度

$$\left\{ \begin{array}{c} f_1 \\ | \\ f_2 \quad f_3 \\ | \\ f_4 \quad f_5 \\ | \\ f_6 \end{array} \right\} W = \frac{\bar{m}_b \lambda^2}{N_r} \quad R: 曲線軸の曲率半径, \quad f_2 = -1 + J_b m \lambda^2 / w^2 R^2 + \lambda (H_m \lambda / R - \nu) / 2R, \quad H_b = \bar{E} \bar{I}_b / N_r m \lambda, \\ E_b I_b: 曲線軸の曲げ剛度, \quad f_3 = \lambda^2 [m \lambda (H_m + J_b) / R - \nu] / w^2 R^2, \quad f_4 = 2 - 2 \lambda^2 [m \lambda (H_m + J_b) / R - \nu] / w^2 R^2, \\ f_5 = -1 - J_b m \lambda^2 / w^2 R^2 - \lambda (H_m \lambda / R - \nu) / 2R, \quad f_6 = -2 \lambda^2 [m \lambda (H_m + J_b) / R - \nu] / w^2 R^2. \end{aligned} \quad (6)$$

$$\left\{ \begin{array}{c} g_1 \\ | \\ g_2 \quad g_3 \quad g_2 \\ | \\ g_4 \quad g_5 \quad g_6 \quad g_5 \quad g_4 \\ | \\ g_7 \end{array} \right\} W = \frac{\bar{m}_b \lambda^3}{N_r} \quad g_1 = 1/2, \quad g_2 = \lambda^2 [m \lambda (H_m + J_b) / R + 2k - \nu] / 2w^2 R^2, \quad g_4 = m \lambda^4 H_b / R^4 w^4, \\ g_3 = -\lambda^2 [m \lambda (H_m + J_b) / R + 2k - \nu] / w^2 R^2 - 1 + \lambda (1 + \nu - \lambda^2 \nu^2) / R - \lambda^2 \nu^2 / 2R^2, \\ g_5 = -4m \lambda^4 H_b / R^4 w^4 - \lambda^2 (J_b m \lambda / R + 2k + P^2 \nu) / w^2 R^2, \\ g_6 = 6m \lambda^4 H_b / R^4 w^4 - 2\lambda (1 + \nu - \lambda^2 \nu^2) / R + 2\lambda^2 (J_b m \lambda / R + 2k + P^2 \nu) / w^2 R^2, \\ g_7 = \lambda^2 [m \lambda (H_m + J_b) / R + 2k - \nu] / w^2 R^2 + 1 + \lambda (1 + \nu - \lambda^2 \nu^2) / R + \lambda^2 \nu^2 / 2R^2, \end{aligned} \quad (7)$$

(4) 刚度の算定 直交異方性板理論に基づいて実際の数値計算を行う場合、剛度の算定が問題となるが、既往の文献を参考にして本研究では構造型式に応じて妥当と思われる算定式を採用した。例えば縦りりで補削された図-4のようないくつか鋼板に對しては、 $N_r = Eh^3/12$, $N_\theta = EI_\theta/b$, $M_r = 2J_b = 0$, $N_{\theta\theta} = GK/b$ とする。ここで I_θ , K : 縦りりで含むT型断面の断面2次モーメントおよびねじり定数, b : 縦りりの間隔, h : 板厚。



(5) 張り出し部を有する板の解析 実際に構築される曲線橋では、図-4の内側主軸および外側主軸のうち内側・外側に板の張り出し部があることが多い。その場合、張り出し部に作用する荷重は、張り出し部を近似的に片持りとみなして、固定端の曲げモーメントを計算し、軸に作用するモーメント荷重 M_b として上述の境界条件式に算入すれば、連続板としての取り扱いをせずに張り出し部を含めて解析が可能となる。

参考文献 (1) Otsuka, H.; Finite Difference Analysis of Circular Ring Sector Plates Supported by Edge-Beams, Proc. of JSCE, No. 220, Dec. 1973. (2) 米沢博: 直交異方性板理論の桁橋構造への適用に関する実験的研究, 土木学会誌, 第39巻10号, 昭和29年10月. (3) Lekhnitskii, S.G.; Anisotropic Plates, Gordon and Breach Science Publishers, New York, 1968.